



中国石油大学(北京)克拉玛依校区  
CHINA UNIVERSITY OF PETROLEUM - BEIJING AT KARAMAY

厚积薄发



开物成务

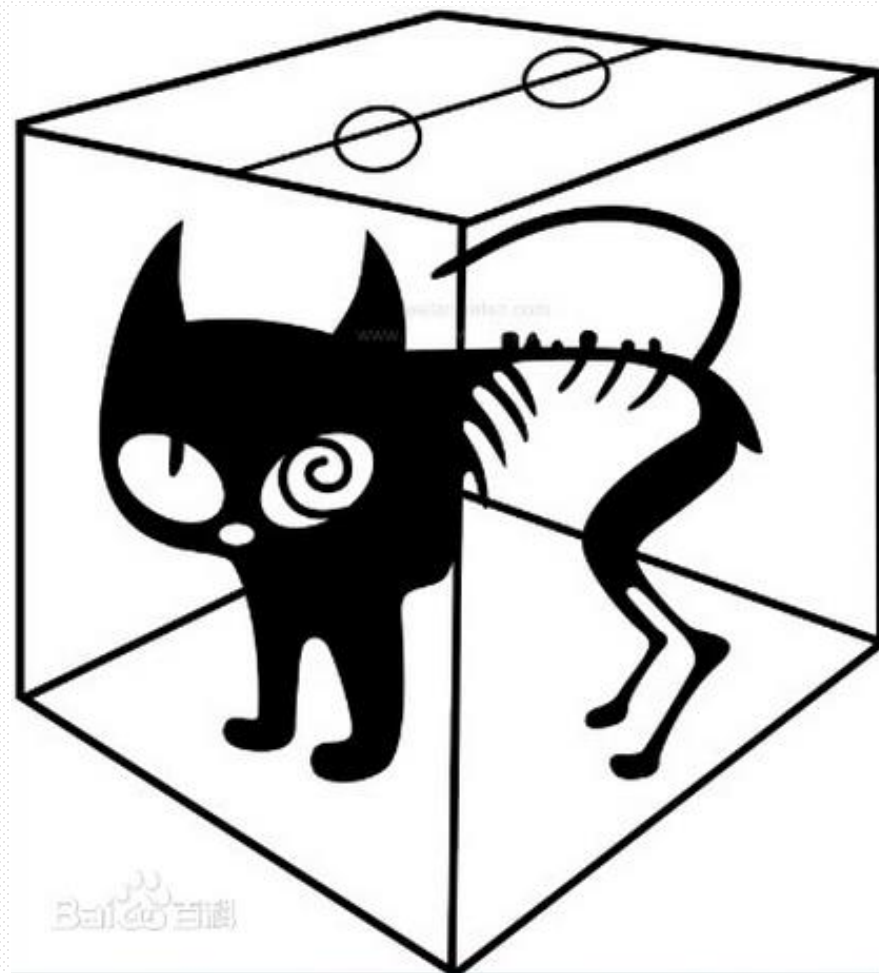
# 第27章 薛定谔方程



## 提纲

§1、薛定谔得出的波动方程

§2、薛定谔方程的简单应用





## §1 薛定谔得出的波动方程

### 一、自由粒子的波函数

一个做一维运动的微观粒子，若一个粒子的**能量为E**，**动量为P**，则其波长和频率应为

$$\nu = \frac{E}{h}, \quad \lambda = \frac{h}{P}$$

与此相联系的应是一个**单色平面波**(简谐波)。

在经典物理中，沿X方向传播的单色平面波**波函数**为

$$y(x, t) = A \cos 2\pi\left(\nu t - \frac{x}{\lambda}\right)$$



单色平面波波函数  $y(x, t) = A \cos 2\pi(vt - \frac{x}{\lambda})$

也可写成复数式  $y(x, t) = A e^{-i2\pi(vt - \frac{x}{\lambda})}$  波函数取其**实部**

在量子力学中，常用波函数  $\Psi(x, t) = \Psi_0 e^{-i2\pi(vt - \frac{x}{\lambda})}$

将  $v = \frac{E}{h}$ ,  $\lambda = \frac{h}{P}$  代入上式，得  $\Psi(x, t) = \Psi_0 e^{-i\frac{2\pi}{h}(Et - Px)}$

$\therefore \hbar = \frac{h}{2\pi}$  一维自由运动粒子的波函数

$$\Psi(x, t) = \Psi_0 e^{-\frac{i}{\hbar}(Et - Px)}$$



## 二、一维自由粒子的运动方程

前面已得到一维自由粒子的波函数  $\Psi(x, t) = \Psi_0 e^{-\frac{i}{\hbar}(Et - Px)}$

将  $\Psi(x, t)$  对  $t$  求一阶偏导

$$\frac{\partial \Psi}{\partial t} = -\frac{i}{\hbar} E \Psi \quad \text{因而有: } i\hbar \frac{\partial \Psi}{\partial t} = E \Psi = \frac{p^2}{2m} \Psi \quad m \text{ 粒子的质量}$$

将  $\Psi(x, t)$  对  $x$  求二阶偏导

相比较得到:

$$\frac{\partial \Psi}{\partial x} = \frac{i}{\hbar} p \Psi$$

$$\frac{\partial^2 \Psi}{\partial x^2} = -\frac{p^2}{\hbar^2} \Psi$$

$$\text{即: } -\hbar^2 \frac{\partial^2 \Psi}{\partial x^2} = p^2 \Psi$$

$$-\frac{\hbar^2}{2m} \frac{\partial^2 \Psi}{\partial x^2} = i\hbar \frac{\partial \Psi}{\partial t}$$



### 三、势场中运动粒子的方程

### 物质波的波动方程

若粒子在势场中运动,  $E$  应包括  $E = \frac{p^2}{2m} + U(x, t)$

推导可得

$$i\hbar \frac{\partial \Psi}{\partial t} = -\frac{\hbar^2}{2m} \frac{\partial^2 \Psi}{\partial x^2} + U(x, t) \Psi$$

—— **一维**含时薛定谔方程

**三维情况**

$$i\hbar \frac{\partial \Psi}{\partial t} = \left[ -\frac{\hbar^2}{2m} \nabla^2 + U(\vec{r}, t) \right] \Psi$$

—— **三维**含时薛定谔方程

$$\nabla^2 = \frac{\partial^2}{\partial x^2} + \frac{\partial^2}{\partial y^2} + \frac{\partial^2}{\partial z^2}$$

**拉普拉斯算符**

$$\hat{H} = -\frac{\hbar^2}{2m} \nabla^2 + U$$

**哈密顿算符**

上述方程简写

$$i\hbar \frac{\partial}{\partial t} \Psi = \hat{H} \Psi$$



$$i\hbar \frac{\partial \Psi}{\partial t} = -\frac{\hbar^2}{2m} \frac{\partial^2 \Psi}{\partial x^2} + U(x, t) \Psi$$

—— **一维含时薛定谔方程**

**恒定势场**  $U(x, t) = U(x)$

**分离变量法**  $\psi(x, t) = \varphi(x)f(t)$   $\varphi(x)$  —— **定态波函数**  $f(t) = e^{-iEt/\hbar}$

$$\left[ -\frac{\hbar^2}{2m} \frac{\partial^2}{\partial x^2} + U(x) \right] \varphi(x) = E \varphi(x)$$

—— **定态薛定谔方程**

$$\hat{H} = -\frac{\hbar^2}{2m} \nabla^2 + U$$

$$\hat{H}\psi(x) = E\psi(x)$$

—— **本征方程**



## □ 说明

- 1) 是**非相对论量子力学**的**基本方程**，适用于**低速运动**粒子的情况，其地位类似于经典力学中的牛顿定律
- 2) **薛定谔方程**是作为假设提出来的它的**正确性**被无数事实所证实
- 3) 薛定谔方程是**线性方程**，满足薛定谔方程的波函数服从**叠加原理**  
(**量子力学第一原理**)

设：下列波函数均满足薛定谔方程：  $\Psi_1 \quad \Psi_2 \quad \Psi_3 \quad \cdots$

则：  $\Psi = C_1\Psi_1 + C_2\Psi_2 + C_3\Psi_3 + \cdots$  ——也是薛定谔方程的解





## 奥地利物理学家 薛定谔 (Schrodinger 1887-1961)

1926年提出量子力学中最基本的薛定谔方程。

1933年薛定谔获诺贝尔物理奖。

量子力学找微观粒子在不同条件下的波函数，  
就是：求不同条件下薛定谔方程的解。



*E. Schrödinger.*



## §2 薛定谔方程的简单应用

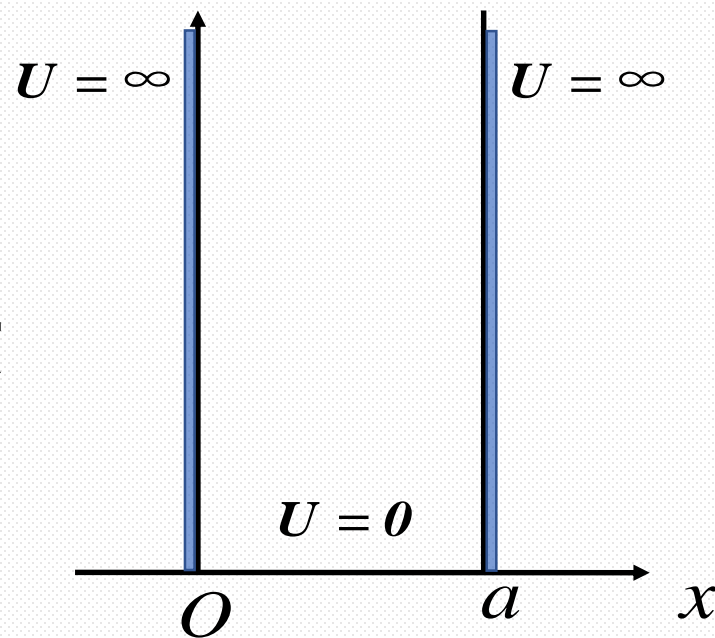
对于处于定态的粒子，只要知道 $m$ 、 $U(x)$ ，就可写出定态薛定谔方程，结合标准条件、归一化条件，可求解此方程，从而得到粒子的波函数。下面举几个简单例子。

### 一、一维无限深方势阱

金属中的自由电子，在金属内部的运动可视为在势阱中的运动。

设某一粒子在外力场中作一维运动，其势函数

势函数 
$$U(x) = \begin{cases} 0 & (0 < x < a) \\ \infty & (x \leq 0 \text{ 或 } x \geq a) \end{cases}$$



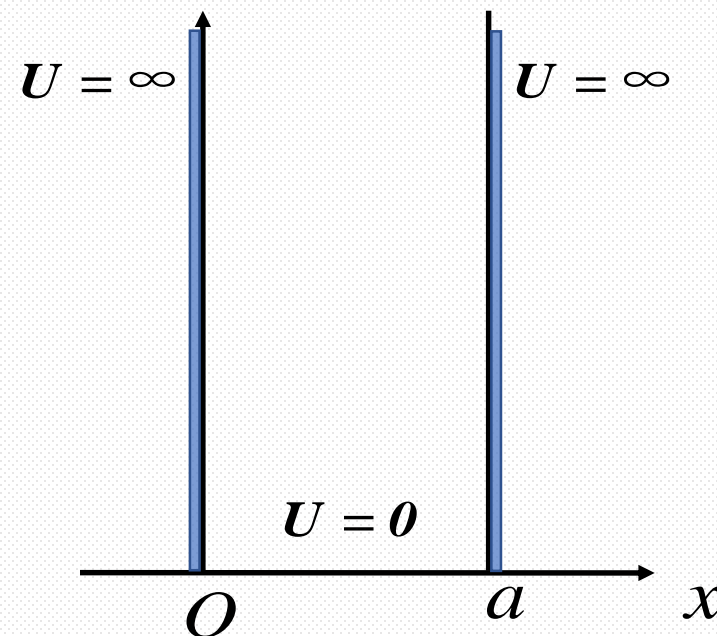


由于势能与时间无关，所以只需解一维定态薛定谔方程

$$\left[ -\frac{\hbar^2}{2m} \frac{\partial^2}{\partial x^2} + U(x) \right] \varphi(x) = E \varphi(x)$$

**势阱外：**  $(x \leq 0 \text{ 或 } x \geq a)$

$$\frac{\hbar^2}{2m} \frac{\partial^2 \psi(x)}{\partial x^2} + \infty \psi(x) = E \psi(x)$$



对于  $E$  为有限值的粒子，要使上述方程成立，唯有  $\psi(x) = 0$



□ 势阱内:  $(0 < x < a)$

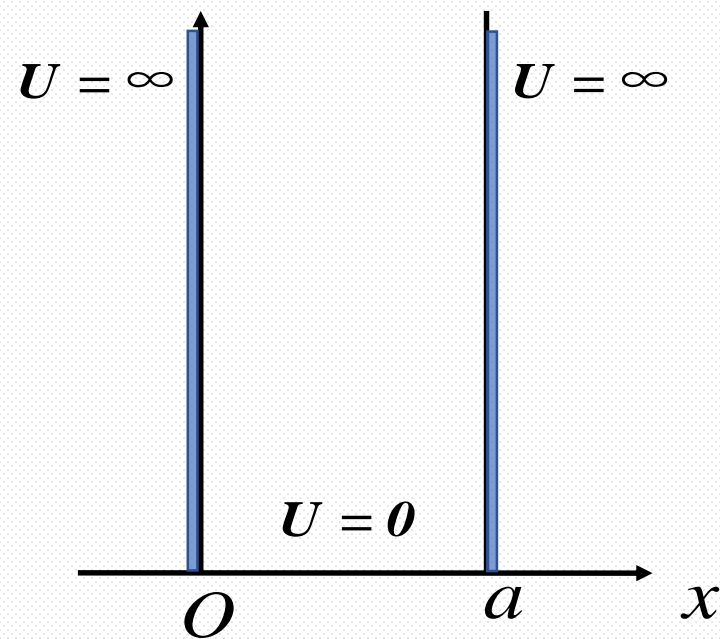
$$-\frac{\hbar^2}{2m} \frac{d^2\psi(x)}{dx^2} + 0 \cdot \psi(x) = E\psi(x)$$

令  $k^2 = \frac{2mE}{\hbar^2}$

$$\frac{d^2\psi(x)}{dx^2} + k^2\psi(x) = 0$$

其解为:  $\psi(x) = A\sin(kx + \varphi)$

➤ 边界条件: 在阱壁上波函数必须单值、连续





➤ 边界条件：在阱壁上波函数必须单值、连续

波函数  $\psi(x) = A \sin(kx + \varphi)$

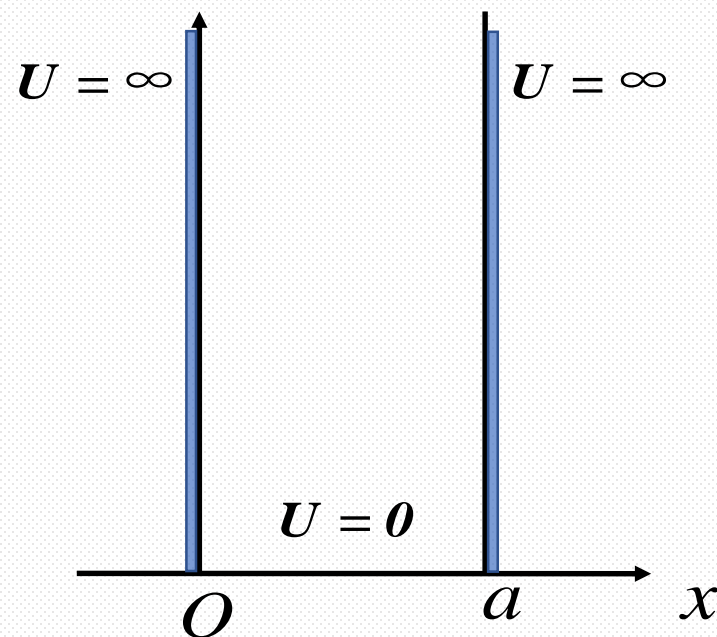
$$\psi(0) = \psi(a) = 0 \quad \begin{cases} A \sin \varphi = 0 \\ A \sin(ka + \varphi) = 0 \end{cases}$$

$\varphi = 0$ ;  $k = \frac{n\pi}{a}$

得：

$$\psi(x) = A \sin \frac{n\pi}{a} x = \psi_n(x)$$

$n = 1, 2, 3, \dots$  称为量子数





$$\psi_n(x) = A \sin \frac{n\pi}{a} x \quad n = 1, 2, 3, \dots \quad \text{称为量子数}$$

➤ 归一化条件:  $\int_{-\infty}^{+\infty} |\psi(x)|^2 dx = 1$

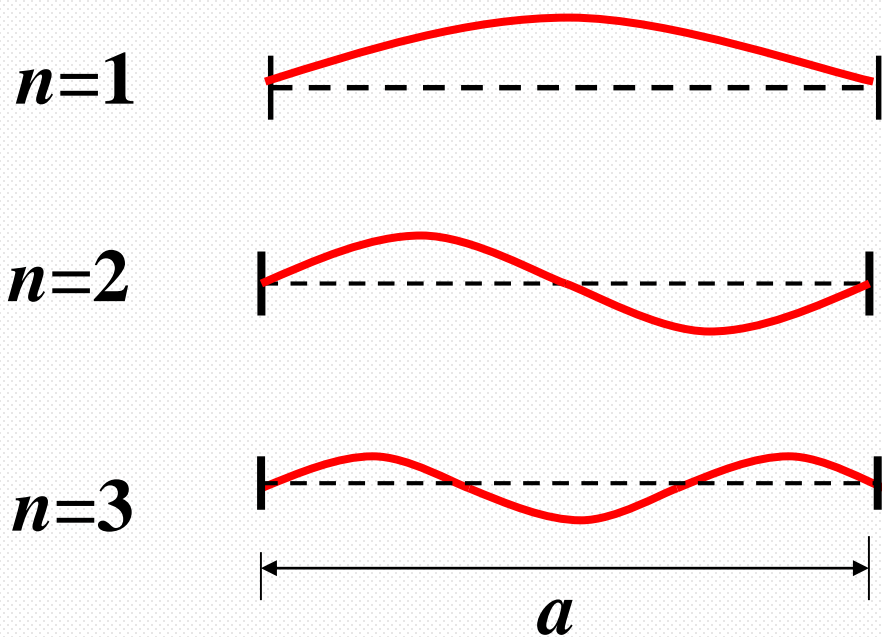
即:  $\int_0^a A^2 \sin^2 \frac{n\pi}{a} x dx = 1 \Rightarrow A = \sqrt{\frac{2}{a}}$

$$\psi_n(x) = \sqrt{\frac{2}{a}} \sin \frac{n\pi}{a} x$$

综上: 
$$\psi(x) = \begin{cases} \sqrt{\frac{2}{a}} \sin \frac{n\pi}{a} x & (0 < x < a) \\ 0 & (x \leq 0 \text{ 或 } x \geq a) \end{cases} \quad n = 1, 2, 3, \dots$$



**波函数**  $\psi(x) = \begin{cases} \sqrt{\frac{2}{a}} \sin \frac{n\pi}{a} x & (0 < x < a) \\ 0 & (x \leq 0 \text{ 或 } x \geq a) \end{cases} \quad n = 1, 2, 3, \dots$

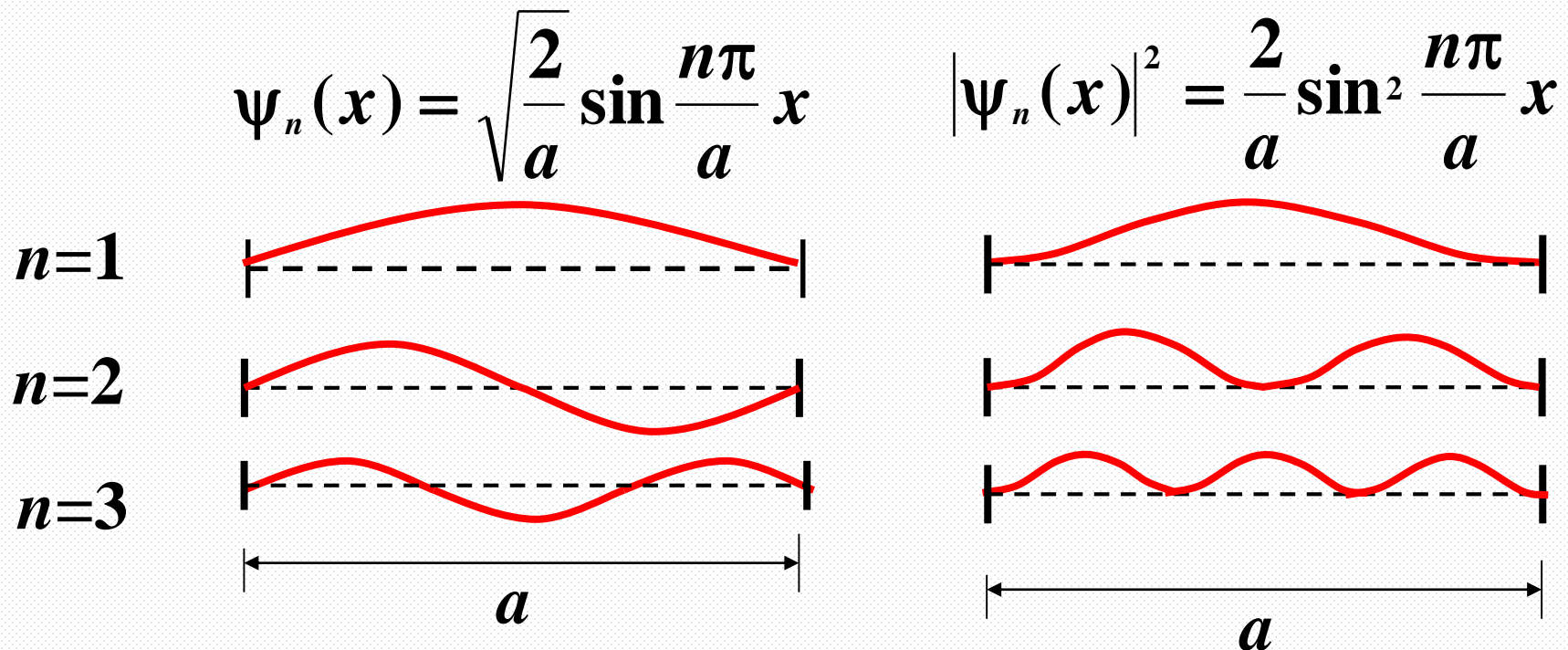


势阱中的粒子在各处的概率密度

在  $0 < x < a$  的区域:

$$|\psi_n(x)|^2 = \frac{2}{a} \sin^2 \frac{n\pi}{a} x$$

波函数类似于弦上的驻波



当 $n=1$ 时, 在  $x=a/2$  处粒子出现的概率最大

当 $n=2$ 时, 在 $x=a/4$ 和 $x=3a/4$ 处粒子出现的概率最大

$n \rightarrow \infty$ 时, 粒子在势阱内的概率趋于均匀  $\Rightarrow$  与经典结论一致





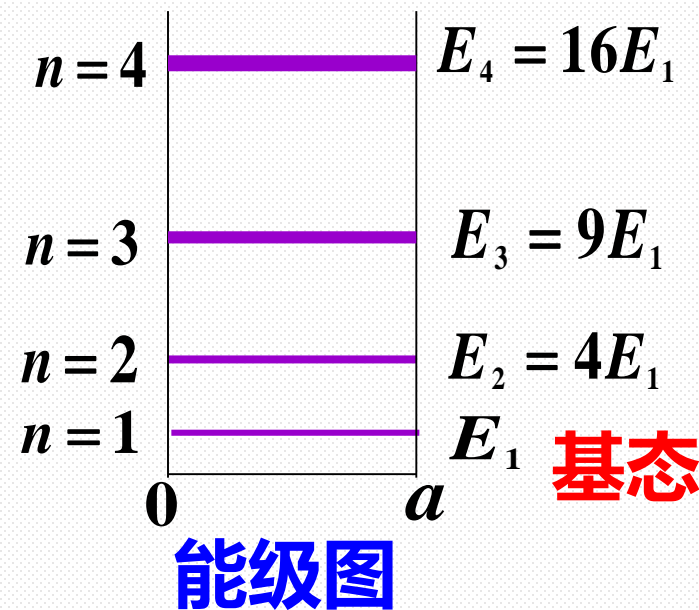
## 势阱中粒子的能量

$$\text{由: } k = \sqrt{\frac{2mE}{\hbar^2}} = \frac{n\pi}{a} \Rightarrow E = \frac{\pi^2 \hbar^2}{2ma^2} n^2 = \frac{h^2}{8ma^2} n^2$$

说明势阱中粒子的能量是量子化的，整数 $n$ 称为能量量子数。

$$E_n = \frac{h^2}{8ma^2} n^2 \quad n = 1, 2, 3, \dots$$

- ◆ 粒子的能量不能连续取值，只能取分立值
- ◆ 粒子的最小能量不能等于零





## 在一定条件下，量子力学解可趋近于经典力学的情况

a. 当量子数 $n$ 足够大时:  $n \gg 1$

$$E_n = \frac{h^2}{8ma^2} n^2 \quad n = 1, 2, 3, \dots$$

粒子能量趋于连续分布

$$\frac{E_{n+1} - E_n}{E_n} = \frac{(n+1)^2 - n^2}{n^2} = \frac{2n+1}{n^2} \rightarrow 0$$

当 $n \rightarrow \infty$  能量的量子化效应就不显著，可认为能量是连续，

所以经典物理可以看作是量子物理中量子数 $n \rightarrow \infty$  时的极限情况

当 $n \rightarrow \infty$ 时，能量连续，量子  $\Rightarrow$  经典



## 在一定条件下，量子力学解可趋近于经典力学的情况

b. 当 $m$ 或 $a$ 足够大时，同样得到上述结论

$$E_n = \frac{h^2}{8ma^2} n^2 \quad n = 1, 2, 3, \dots$$

$$m \rightarrow \infty \text{ 或 } a \rightarrow \infty \quad E_{n+1} - E_n = \frac{h^2}{8ma^2} (2n - 1) \rightarrow 0$$

当 $m \rightarrow \infty$ 或 $a \rightarrow \infty$ 时，能量连续，量子  $\Rightarrow$  经典



## 利用粒子的德布罗意波长求解

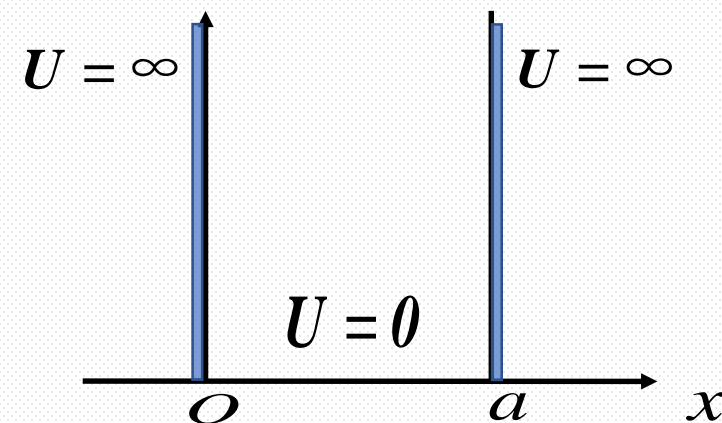
由于粒子的波动性，这相当于一列波在势阱中传播，在势阱中形成驻波。则有：

$$a = n \frac{\lambda}{2} \quad (n=1,2,3...)$$

即  $\lambda = \frac{2a}{n}$  **德布罗意波长量子化**

由德布罗意公式  $\lambda = \frac{h}{p}$  代入上式，得

$$p = \frac{nh}{2a} \quad (n=1,2,3...) \quad \text{动量也是量子化}$$



$$E = \frac{1}{2}mv^2 = \frac{P^2}{2m}$$

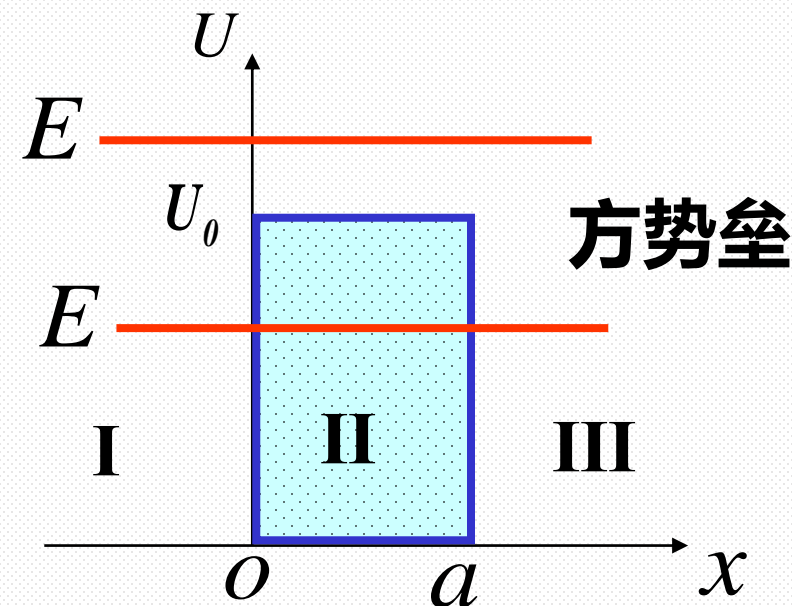
$$E = n^2 \frac{h^2}{8ma^2} \quad (n=1,2,3...)$$

**能量也是量子化**



## 二、势垒穿透

**势函数** 
$$U(x) = \begin{cases} U_0 & (0 \leq x \leq a) \\ 0 & (x < 0, x > a) \end{cases}$$



$E > U_0$ : 经典理论或量子力学，粒子都可以从区域I穿过区域II进入区域III。

$E < U_0$ : 从经典理论看，由于粒子动能必须为正值，所以不可能从区域I穿入区域II进入区域III。

但从量子力学分析，粒子仍可以穿过区域II进入区域III。

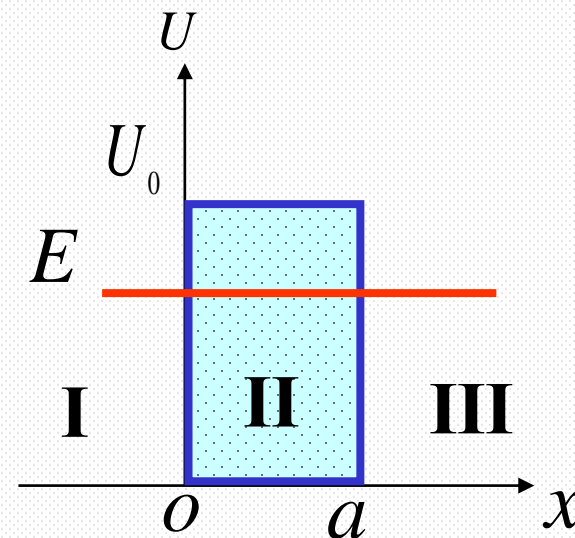


$$-\frac{\hbar^2}{2m} \frac{d^2 \psi(x)}{dx^2} + U(x) \psi(x) = E \psi(x)$$

在区域I: ( $x < 0$ )

设波函数为  $\psi_1(x)$  薛定谔方程

$$-\frac{\hbar^2}{2m} \frac{d^2 \psi_1}{dx^2} = E \psi_1$$



在区域II: ( $0 \leq x \leq a$ )

设  $\psi_2(x)$

$$-\frac{\hbar^2}{2m} \frac{d^2 \psi_2}{dx^2} + U_0 \psi_2 = E \psi_2$$

在区域III: ( $x > a$ )

设  $\psi_3(x)$

$$-\frac{\hbar^2}{2m} \frac{d^2 \psi_3}{dx^2} = E \psi_3$$



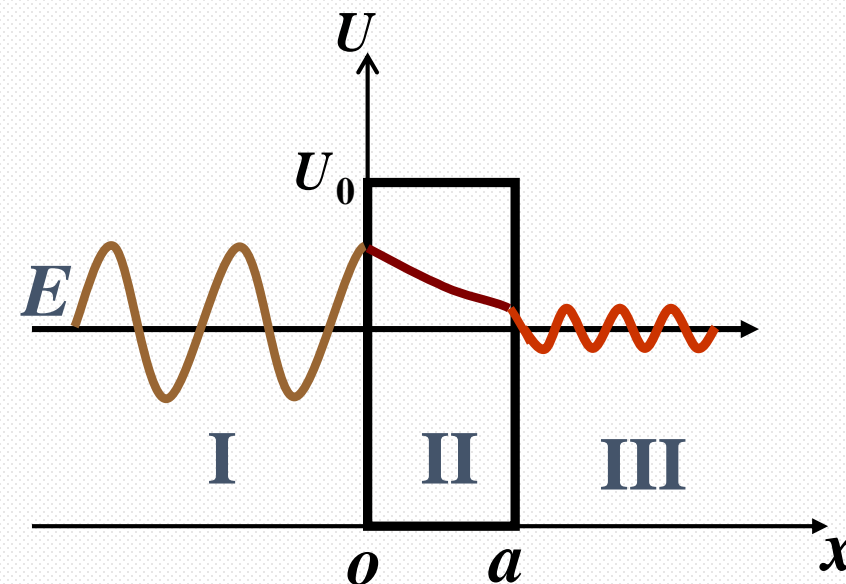
根据波函数要求是**单值、有限、连续**条件解得

波函数为

$$\left\{ \begin{array}{ll} \psi_1 = Ae^{ik_1x} + A'e^{-ik_1x} & \text{I} \\ \psi_2 = B'e^{-k_2x} & \text{II} \\ \psi_3 = Ce^{ik_1x} & \text{III} \end{array} \right.$$

在粒子总能量低于势垒壁高 ( $E < U_0$ ) 的情况下  
粒子有一定的概率穿透势垒。

粒子能穿透比其动能更高的势垒的现象，称为**隧道效应**

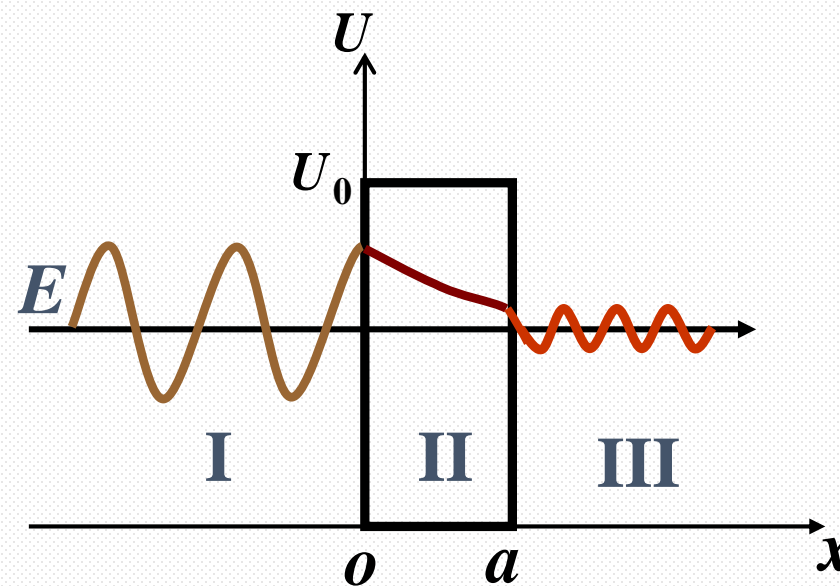


“隧道效应”



## 透射率：粒子穿过势垒的几率

$$T = \frac{|C|^2}{|A|^2} \propto e^{-\frac{2}{\hbar} \sqrt{2m(U_0 - E)}a}$$



粒子容易穿透薄的势垒，质量小的粒子穿透势垒的几率大。

若：电子  $m=m_e=0.91 \times 10^{-30} \text{kg}$

$U_0 - E = 5 \text{eV}$

$$T \sim e^{-2.3 \times 10^{10} a}$$

当  $a = 10^{-10} \text{m}$ ,  $T \sim e^{-2.3} \approx 0.1$

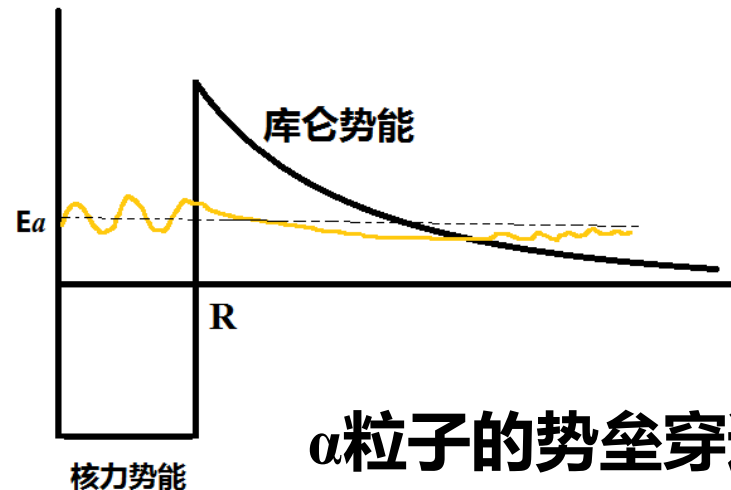
当  $a = 10^{-9} \text{m}$ ,  $T \sim e^{-23} \approx 10^{-10}$





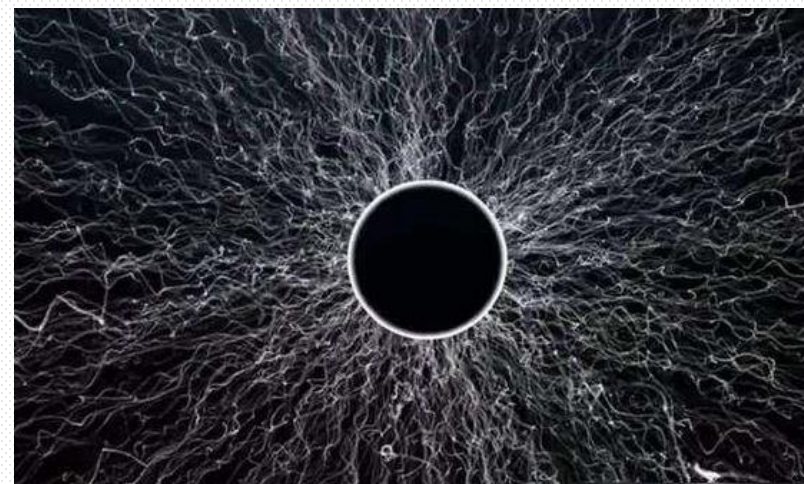
## 势垒穿透实例

1、 $\alpha$ 粒子从放射性核中能够释放出来，证明了这一结论。



$\alpha$ 粒子的势垒穿透示意图

2、黑洞并不像想象的那么黑，事物可以从黑洞逃逸——黑洞不是黑的



3、热核反应需要极高温

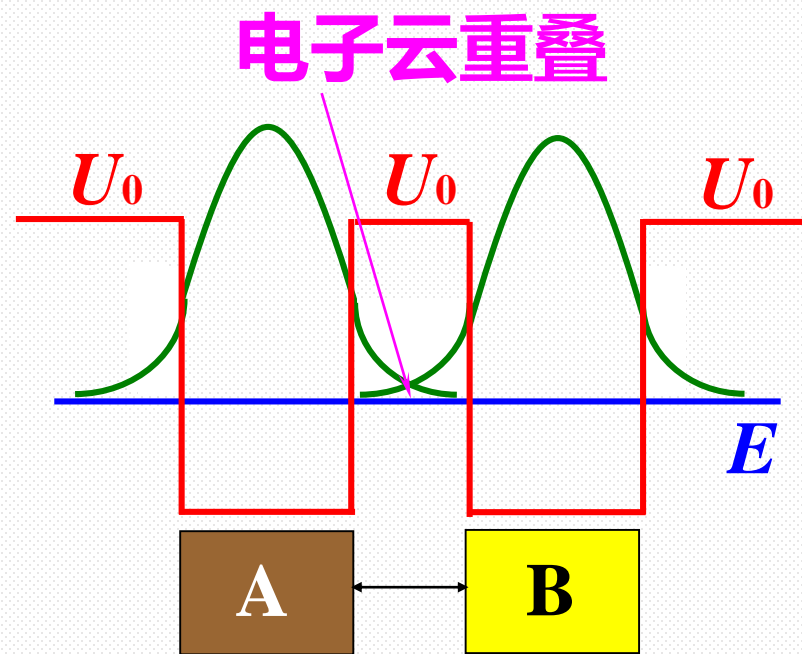
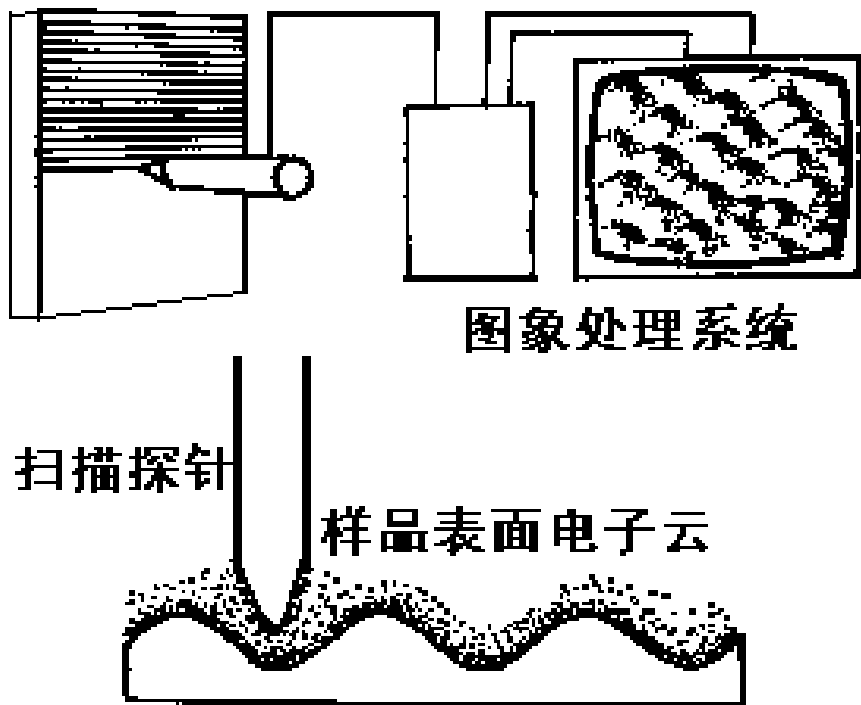


崂山道士穿墙术



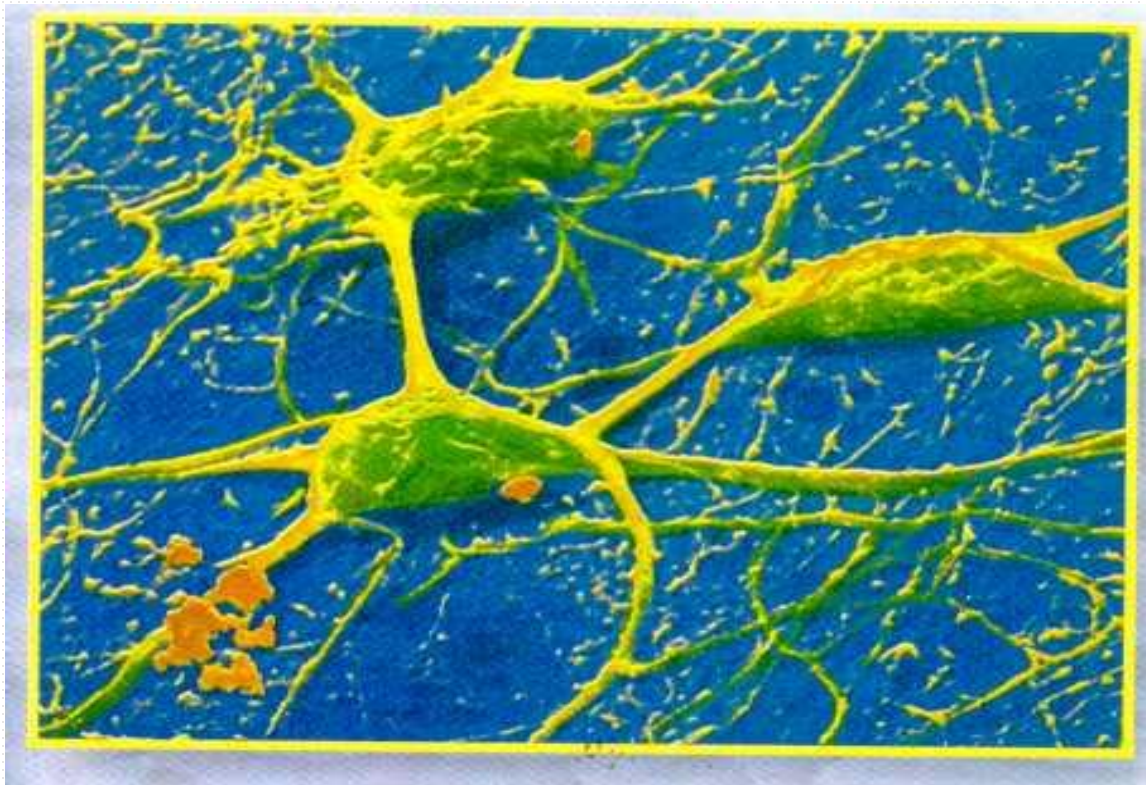
《物理世界奇遇记》

## 扫描隧道显微镜STM

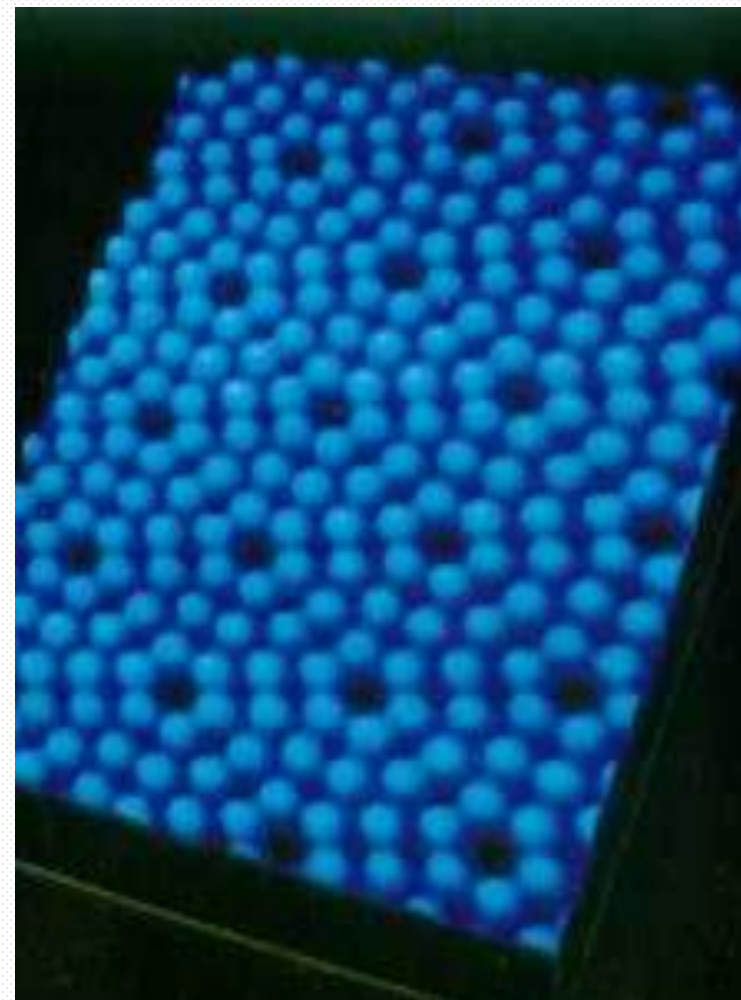


用一个极细的尖针（针尖头部为单个原子）去接近样品表面，当针尖和样品表面靠得很近，即小于1纳米时，针尖头部的原子和样品表面原子的电子云发生重叠。此时若在针尖和样品之间加上一个偏压，电子便会穿过针尖和样品之间的势垒而形成纳安级（ $10^{-9}$  A）的隧道电流。通过控制针尖与样品表面间距的恒定，并使针尖沿表面进行精确的三维移动，就可将表面形貌和表面电子态等有关表面信息记录下来。





用STM得到的神经细胞象



硅表面STM扫描图象



**习题1** 已知粒子在一维无限深势阱中运动,其波函数为:

$$\psi(x) = \frac{1}{\sqrt{a}} \cos \frac{3\pi x}{2a} \quad (-a \leq x \leq a)$$

那么粒子在 $x=5a/6$ 处出现的几率密度为:

- (A)  $1/2a$       (B)  $1/a$       (C)  $1/\sqrt{2a}$       (D)  $1/\sqrt{a}$



## 习题2 粒子在一维矩形无限深势阱中运动,其波函数为:

$$\psi_n(x) = \sqrt{\frac{2}{a}} \sin\left(\frac{n\pi x}{a}\right) \quad (0 < x < a)$$

若粒子处于 $n=1$ 的状态,在 $0—a/4$ 区间发现该粒子的几率为?